



Obfuskation und Malware Evasion durch Verlagerung von Funktionalität in Threads

Oliver Deja
Matrikelnr.: 6695710

Abschlussarbeit im Studiengang
Master of Science Praktische Informatik

eingereicht im August 2021



23.08.2021



Einleitung

- Engineers vs. Reverse Engineers
- Obfuskation
- Kontrollflussgraph
- Beiträge:
 - Implementierung
 - Untersuchung
 - Vergleich



23.08.2021

Obfuskation und Malware Evasion durch
Verlagerung von Funktionalität in Threads

2



- Schlagworte zu sehen
- Kampf zw. Software Ingenieure, die Software entwickeln, und Reverse Engineer, welche versuchen dieses Produkt für verschiedene Zwecke zu analysieren
- Obfuskation als Gegenmaßnahme gegen Reverse Engineering
- Ein Ansatz ist die Verschleierung des Kontrollflussgraphen, so auch hier
- Im Folgenden wird näher auf diese Begriffe eingegangen
- Beitrag besteht aus 3 Teilen
- konkrete Implementierung vorgestellt
- diese hinsichtlich verschiedener Gesichtspunkte untersucht
- abschließend in wissenschaftl. Kontext verglichen

Inhalt

- 1 Grundlagen
- 2 Entwurf und Implementierung
- 3 Evaluation
- 4 Diskussion
- 5 Zusammenfassung und Ausblick



23.08.2021

Obfuskation und Malware Evasion durch
Verlagerung von Funktionalität in Threads

3



- Zuerst Grundlagen
- dann die für die Masterarbeit erstellte mögliche Implementierung vorgestellt
- anschließend diese Implementierung in Evaluation untersucht
- abschließend die Erkenntnisse aus den vorangegangenen Teilen weiterführend betrachtet
- Zuletzt die relevantesten Aspekte der Arbeit zusammengefasst und einen Ausblick gewährt

Inhalt

- 1 Grundlagen
- 2 Entwurf und Implementierung
- 3 Evaluation
- 4 Diskussion
- 5 Zusammenfassung und Ausblick



23.08.2021

Obfuskation und Malware Evasion durch
Verlagerung von Funktionalität in Threads

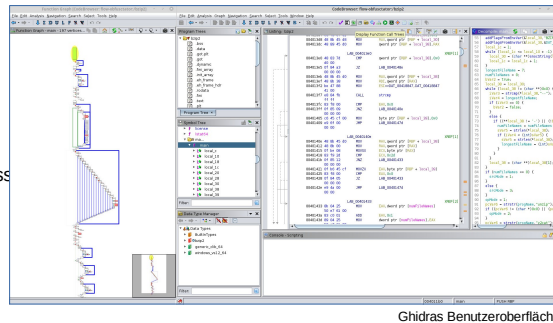
4



Allgemein die Grundlagen kurz umrissen, die mit dem vorgestellten Thema zusammenhängen und auf welchen die Idee hinter dieser speziellen Obfuskation basiert

Grundlagen

- Kontrollflussgraph
 - Jump, Call, Return
- Reverse Engineering
- Obfuskation
 - Gestaltung, Daten, Kontrollfluss
- Malware Detektion
 - Signatur, Verhalten, Heuristik
- Malware Evasion



Inhalt

- 1 Grundlagen
- 2 Entwurf und Implementierung
- 3 Evaluation
- 4 Diskussion
- 5 Zusammenfassung und Ausblick



23.08.2021

Obfuskation und Malware Evasion durch
Verlagerung von Funktionalität in Threads

5



- CFG: weil wesentlicher Bestandteil;
Programmablauf; seriell, wenn nicht Instr.
Einfluss ...; Call/Ret nicht im Graph, Jmp Kante
- Wiedergewinnung der konkreten Implementierung
bei Produkten, zu welchen keine Informationen
über ihre innere Beschaffenheit vorliegt
verschiedene Codeformen, teilweise automatisiert
möglich
Disassemblierung, Dekompilierung, automatische
Annotationen, graphische Darstellung mit Tools
wie Ghidra
Ziele: Schwachstellen, bösartiges Verhalten,
Manipulation, geistiges Eigentum
- erschweren; Funcnames, Crypt, Instr. einfügen
- Hash/LSH/Yara(Muster/Regex) → DB; stat./dyn., sys
calls / allocas mit permissions; AI, Kombi →
Wahrsch. als Phase 1
- Obfuskation → Polymorphie

Übersicht zeigt
Entwurfsentscheidungen und Einschränkungen
vorgestellt
Abschließend konkrete Implementierung geschildert

nur eine Möglichkeit zur Implementierung, bei der
selbstverständliche Teilaspekte durch Alternativen
ersetzt werden können, einige werden auch später
noch vorgestellt



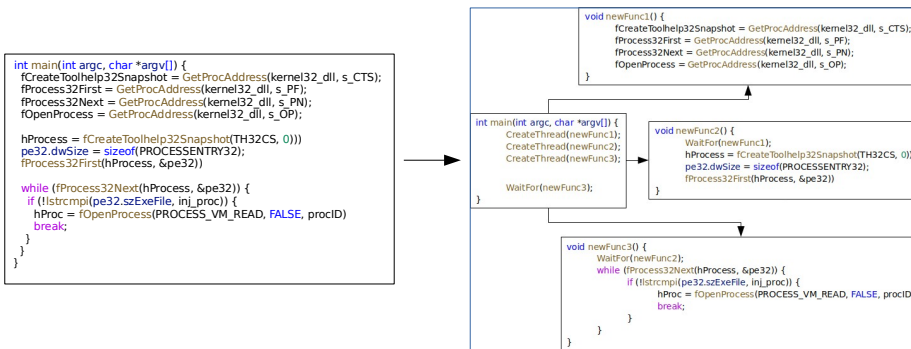
23.08.2021

Obfuskation und Malware Evasion durch
Verlagerung von Funktionalität in Threads

6



Übersicht



nicht obfuskiert

obfuskiert

Entscheidungen und Einschränkungen

- **Rahmenwerk:** LLVM (IR) Optimierungsdurchlauf
- **Zielbetriebssystem:** Windows und Linux, 32- und 64-bit
- **Quellsprache:** C und C++
- **Parallelisierungsmechanismen:** Systemaufrufe
- **Datenflussanpassungen:** über globale Variablen
- **Einteilungsgröße:** ein Basic Block
- **Besonderheiten:** rekursiv, variable Parameter,

Ausnahmebehandlung

Mit dieser Folie soll das Prinzip der Obfuskation skizziert werden

- links nicht obfus. mit vereinfachtem C-Code Bsp.
- unterteilt durch Leerzeile, 3 neue funcs, als Thread gestartet warten jeweils auf den Vorgänger

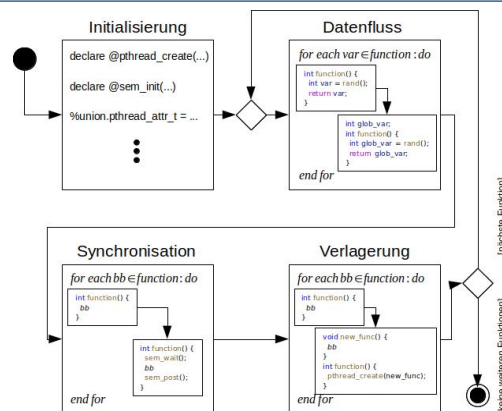
Hier kann schon die erste Konsequenz hinsichtl. der veränderten Form des CFG antizipiert werden

Auch lassen sich erste Implikationen bzgl.

Implementierung erkennen: Datenfluss muss geändert werden

- ausgehend von nativer Code, weil weniger gut analysierbar und beste Kontrolle, und möglichst generisch und unkomplex, weil nur abhängig von Rahmenwerk (diverse Langs) → LLVM Pass Entscheidung unterstützt durch die Nutzung in anderen wissenschaftl. Publikationen
- Windows, weil starke Verbreitung und begehrtes Ziel; Linux, weil Entwicklung leichter (hat sich bestätigt); Prozessorarchitektur nicht groß unterschiedlich, deshalb beide
- Offizieller Support nur C/C++, aber auch geeignet
- Weil die Alternativen wie Stack/Heap höheren Verwaltungsaufwand
- Weniger komplex, letztlich aber beliebig (Param)
- rekursiv und var Param wegen Datenfluss decision
- durch Thread kreierte Schicht trennt Entstehungsort und Routine, auch Win/Linux

Architektur und Arbeitsweise



Inhalt

- 1 Grundlagen
- 2 Entwurf und Implementierung
- 3 **Evaluation**
- 4 Diskussion
- 5 Zusammenfassung und Ausblick

- Aufgrund umfangreiche Implementierung soll nicht auf Details eingegangen werden
- Systemfunktionen und Systemtypen, wichtig: CreateThread und Semaphore (Create, Wait)
Notwendig, die Systemobjekte aufzuräumen (Rsrc.)
 - „Globalisierung“, LLVM Identifier, Optimierung durch Prüfung, wo Identifier verwendet, PHI-Nodes: Variable abhängig Vorgänger (komplex)
 - vor Verlagerung, weil für die Sync notwendige Beziehungen zwischen den einzelnen Funktionalitäten noch vorhanden
am Anfang Wartepunkt am Ende Freigabepunkt gemäß Verzweigungsanweisung injiziert, Spezial: erste nicht, letzte gibt ursprüngliche Funktion frei
 - Verschieben und CreateThread eingefügt, bei mehrfachen Durchlaufen selbst neu starten
 - Besonderheit Windows: Terminierung Gefahr, weil nicht klar wann, Mutex nicht freigeben
Lösung: Zählervariable, weil am wenigsten komplex und Verwaltungsaufwand

- Beweis der Korrektheit des obfus. Prog. (sonst hat die Obfuskation an sich ja keinen Sinn)
- Formelle Obfuskationsmetriken
 - Wirksamkeit, Widerstandsfähigkeit, Kosten
- Auswirkungen auf das Reverse Engineering
- Auswirkungen auf die Malware Detektion

Korpus: zwei Beispielpprogramme, eines zur Berechnung von einer bestimmten Stelle von PI, das andere bzip2 zur Kompression; zudem noch die Coreutils, Standardprogramme des GNU Betriebssystems, beliebt für Evaluation
Malware bestehend aus allen Quellcodes die aufgefunden werden konnten, weil Binary Rewriting keine Alternative

Beweis der Korrektheit des obfuskierten Programms

- Vergleich zwischen obfuskiertem und nicht obfuskiertem Programm
- Coreutils Testsuite

obfuskiert		nicht obfuskiert	
Coreutils	Gnulib	Coreutils	Gnulib
=====	=====	=====	=====
# TOTAL: 591	# TOTAL: 320	# TOTAL: 600	# TOTAL: 322
# PASS: 353	# PASS: 200	# PASS: 485	# PASS: 286
# SKIP: 126	# SKIP: 37	# SKIP: 109	# SKIP: 36
# XFAIL: 0	# XFAIL: 0	# XFAIL: 0	# XFAIL: 0
# FAIL: 89	# FAIL: 83	# FAIL: 0	# FAIL: 0
# XPASS: 0	# XPASS: 0	# XPASS: 0	# XPASS: 0
# ERROR: 21	# ERROR: 0	# ERROR: 6	# ERROR: 0



Mit beiden Varianten des bzip2 Programms wurden verschiedene Testdaten komprimiert, ebenfalls wurden verschiedene Kommandozeile angewandt. Es konnte weder bei den Dateiausgaben noch bei den Kommandozeilenausgaben des Programms Unterschiede festgestellt werden.

die Coreutils bieten automatisierte Tests, nicht obfuskiert wie erwartet bei fast 100 % obfuskiert zwar nur bei fast 75 %, als Stabilität aber genügend, wenn beachtet wird, dass bestimmte Konstrukte inhärent nicht mit der Obfuskation funktionieren, z.B. signal-Funktion oder bestimmte Annahmen über das Programm bei den Tests

Formelle Obfuskationsmetriken

Widerstandsfähigkeit

Wirksamkeit

Sparsamkeit



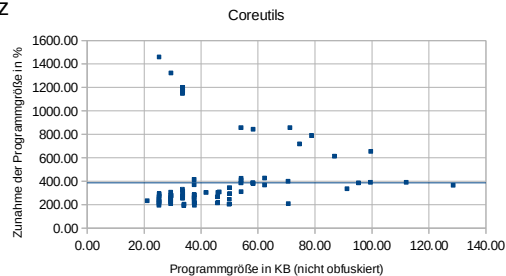
- Coreutils für die Messungen
- zu beachten: verschiedene Abhängigkeiten, wie Einteilungsgröße

Die Qualität einer Obfuskation kann anhand der Wirksamkeit, der Widerstandsfähigkeit und anhand der Sparsamkeit bzw. anhand der Kosten bestimmt werden

Bewusst diese Darstellung gewählt, weil Änderungen eines Aspekts die anderen Aspekte beeinflussen kann. Dementsprechend befinden sich diese Merkmale in einem Spannungsverhältnis.

Formelle Obfuskationsmetriken (Wirksamkeit)

- Zunahme der Programmgröße
- Zunahme von Funktionen
- Längste gemeinsame Teilsequenz
- Zunahme der Instruktionen



23.08.2021

Obfuskation und Malware Evasion durch
Verlagerung von Funktionalität in Threads

13



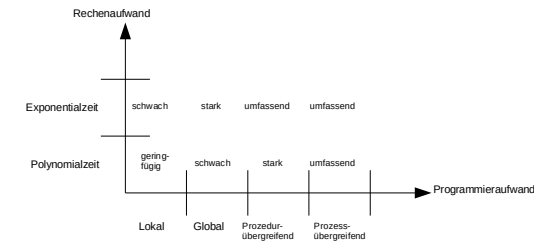
orientiert sich an Software Engineering Metriken,
wobei das Qualitätsmaß dem des Software
Engineerings entgegengesetzt ist

Zunahme der Programmgröße

- zwischen 190 – 1500 %, bei höherer
Ausgangsprogrammgröße Trend zum Mittelwert
- es ist davon auszugehen, dass Spitzenwerte
aufgrund hoher Dichte spezieller Eigenschaften
- erst im Zusammenhang mit Kosten und
Widerstand, weil sonst unendlich
- Zunahme von Funktionen stark abhängig
Einteilungsgröße, entspricht Anzahl Bbs
- weitestgehend unauffällig bei Vergleich mit
beliebigen Programmen
- identisch mit Programmgröße
- sonst keine Änderungen hinsichtlich OOP (SE),
aber ggf. gefühlte Wirksamkeit durch Distanz

Formelle Obfuskationsmetriken (Widerstandsfähigkeit)

- Aufwand zur Erstellung eines Deobfuskators



23.08.2021

Obfuskation und Malware Evasion durch
Verlagerung von Funktionalität in Threads

14



das Maß reicht von geringfügig bis irreversibel,
irreversibel nur bei der Frage, ob Variable vorher
lokal oder global, für deob. aber irrelevant
das Maß wird zweidimensional anhand
Rechenaufwand und Programmieraufwand
bestimmt

Da kein nicht polynomiell Problem durch die
Obfuskation entsteht, bewegt sich die Resistenz im
Bereich Polynomialzeit

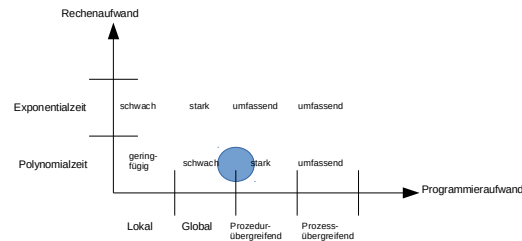
Unterteilung in (betrifft nur):

lokal: ein Basic Block; global: gesamter cfg, prozed:
Informationsfluss zwischen Funktionen, prozess:
zwischen Threads
global auf jeden Fall (Sinn der obfus.), auch etwas
prozed., weil Datenfluss und Distanz

dementsprechend kann die Einordnung wie folgt
erfolgen

Formelle Obfuskationsmetriken (Widerstandsfähigkeit)

- Aufwand zur Erstellung eines Deobfuskators



23.08.2021

Obfuskation und Malware Evasion durch
Verlagerung von Funktionalität in Threads

15



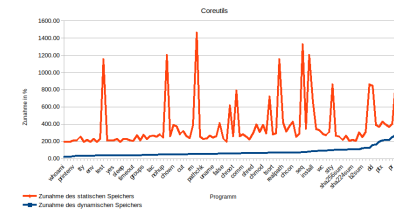
auf jeden Fall generische Deobfuskation unmöglich,
weil geprüft werden müsste, ob Thread durch
Obfuskation oder schon vorhanden nicht nicht
obfuskierte Variante

auch wenn nur schwach bis stark, eigenständig
selten umfassend, nur in Kombination

Formelle Obfuskationsmetriken (Kosten)

Transformationsdauer: Zuwachs um ca. 50 %

Speicherplatz



Performanz

Programm	LOC	Anzahl Funktionen	Programmgröße in B	Max Zunahme in %
BBP Formel	149	5	14664	15463,89
bzip2	6419	109	99728	1758444,95
Verhältnis	43,08	21,80	6,80	113,71



23.08.2021

Obfuskation und Malware Evasion durch
Verlagerung von Funktionalität in Threads

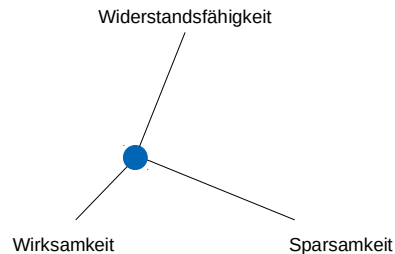
16



Ressourcenzuwachs
konstant=kostenlos, linear=billig,
polynomiell=kostspielig, exponentiell=teuer

- konnte ein durchschnittlicher Zuwachs von 50% gemessen werden, vertretbar (konstant-linear)
- statisch bereits gehabt (400%), dynamisch im Mittel: 81,27%, jedoch kein Zusammenhang, wie aus der Abbildung hervorgeht, angesichts heutiger Kapazitäten und Raten vertretbar (linear)
- Performanz gemäß Graph bei höherer Ausführungsdauer anscheinend konstant, in Abhängigkeit von der Programmgröße erscheint jedoch die Zunahme sogar expo.
alleine aufgrund der Zunahme um fast 2.000.000 % ist sind die Kosten hierdurch teuer

Formelle Obfuskationsmetriken (Zusammenfassung)



23.08.2021

Obfuskation und Malware Evasion durch
Verlagerung von Funktionalität in Threads

17



Nochmal das Spannungsdreieck, in welchem versucht wurde die Obfuskationstechnik einzuordnen.

Wirksamkeit: Programmgröße ist hervorzuheben, Abzüge wegen Fokus auf Codesektion, sonst mehrere verschiedene Auswirkungen, deshalb „mittel“

Widerstand: schwach bis stark

Kosten: teuer, dementsprechend geringe Sparsamkeit

Relativierung durch die Möglichkeit durch Aussparung rechenintensiver Methoden die Einordnung zur Sparsamkeit zu verschieben. So stellt auch die Zielgruppe, insbesondere Malware, ein weniger großes Problem dar wegen Wartezeitverhältnis (Mimikatz)

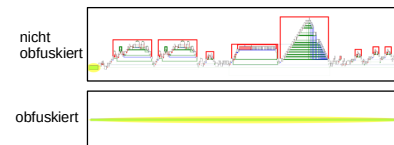
Auswirkungen auf das Reverse Engineering

Statische Analyse

- Disassemblierung/ Dekompilierung
- Kontrollflussgraph (siehe. Bild)
- Funktionsaufrufgraph

Dynamische Analyse

- Threadwechsel
- Stacktrace
- Hohe Belastung
- Zusätzliche Systemfunktionen



23.08.2021

Obfuskation und Malware Evasion durch
Verlagerung von Funktionalität in Threads

18



Nutzerstudie besser, aber im Folgenden Konsequenzen möglichst praxisnah beleuchtet

- Disas. komplexer, mehr Referenzen; Dekomp. Funktionalität verteilt und Zusammenhang der Schnipsel nicht so leicht ersichtlich
- Auslöschung jeglicher Informationen aus dem Kontrollflussgraph als Ziel erfolgreich
- aufgrund zu vieler Referenzen nicht darstellbar, zusätzliche Schicht
- umständlich und irritierend
- Stacktrace als Ursprung immer die Erstellung des Threads
- Zahlreiche Threads, in einem Beispiel mit bzip2 fast 300 aktive Threads und mehr als 9 Mio erstellt
- Zusätzlich CreateThread, Close, DuplicateObject

Auswirkungen auf die Malware Detektion

Signaturbasierte Detektion

- Lokal Sensitiver Hash

```
1 | A3A35B53B2932AFECB8EC9795A5A1626F671766A83187D3F75C9EA303F06A781F9A324 Clang, nicht obfuskiert
2 | AB456A3A50B9C0C82C8C77C0B8231D084F7022727C974B5ABF29FECE1F569A386 Clang, obfuskiert
3 | AB456A3A50B9C0C82C8C77C0B8231D084F7022727C974B5ABF29FECE1F569A386 Clang, obfuskiert, mit Zufall
4 | CC934B49F5A61B7ACA86C935063F5B31AB28FD090722377F7B4B630BF07AA91F6D669 GCC, nicht obfuskiert
```

- YARA

64-bit		32-bit	
n. obfus.	obfus.	n. obfus.	obfus.
36	7	49	8

Verhaltensbasierte Detektion

- Cuckoo Sandbox
- Geringe Ausgangsdetektionsrate
- Starke Auswirkung bei einem Sample

Kommerzielle Scanner

- Weniger Detektionen bei mehr als 60 % der Samples
- Im Mittel 2 Detektionen weniger

Inhalt

- 1 Grundlagen
- 2 Entwurf und Implementierung
- 3 Evaluation
- 4 Diskussion
- 5 Zusammenfassung und Ausblick

- Nahezu keine Ähnlichkeit zwischen obfus./n.obfus, auch Distanz ähnlich beliebigen Referenzprogs, PoC bzgl. Polymorphie (Params)
- Sigs vom Yara-Signator des FKIE, Anzahl der Detektionen durch obfus. um ca 80 % reduziert
Umstand, wie Codesektion und max. Progsizes, sofern eine obfuskierte Variante im Gen-Proc, deutlich bessere Ergebnisse erwartbar
- Schlagworte; Reduktion von mehr als 5 auf unter 1, obwohl verifiziert, dass Sample innerhalb Timeout aktiv war
Aufgrund unbeständigem Verhalten schwer die Gründe ohne umfangreiche Untersuchung
- Schlagworte=Ergebnis; Black-Box, Einzelfallbetrachtung, auch Zunahme

Heuristische Detektion basiert größtenteils auf den betrachteten Formen und wurde nur theoretisch behandelt, weshalb in dieser Ergebnispräsentation nicht näher darauf eingegangen wird

- Vergleich mit ähnlichen Publikationen
- Ansätze für Gegenmaßnahmen
- Optimierungen
 - Kombination
 - Alternativen
 - Funktionen
 - Zuverlässigkeit

Vergleich mit ähnlichen Publikationen

- Opake Konstanten mit Binary Rewriting (Moser et al.)
 - Kontrollflussgraph aufgrund indirekter Verzweigungen nicht möglich
 - Zunahme der Programmgröße vergleichbar, aber deutlich bessere Performanz
- Erzeugung von Perturbationen mit Binary Rewriting
 - Hohe Reduzierung der Detektionsraten möglich
- „Thread-basierte Obfuskation“ (Omar et al.)
 - Samples nur teilweise Vergleichbar
- Shadow Attacks: Verlagerung von Funktionalität in andere Prozesse (Ma et al.)
 - Gute Malware Evasion legitimiert gegebenenfalls hohe Kosten



23.08.2021

Obfuskation und Malware Evasion durch
Verlagerung von Funktionalität in Threads

21



- Schlagworte; Programsize auch 400%, Performanz nur 50–100% (im Gegensatz zu 15.000% bei BBP)
- Im Schnitt um zwanzig, auch bis runter auf 8 (von ca. 60), Binary Rewriting aber im allgemeinen besser, sodass die hier erreichten 12 Detektionen nicht vernachlässigbar
- Sehr ähnlich, aber nur minimale-komplexe Samples; Ausführungszeit annähernd vergleichbar
- Verteilung von Codeschnipsel zur Ausführung in anderen Prozessen; auch hier ähnlich hohe Zunahme der Ausführungsdauer, so wird in dieser Arbeit jedoch postuliert, dass Malware Entwickler eine gute Evasion bevorzugen, wenn nicht zeitkritische Aufgabe

Ansätze für Gegenmaßnahmen

- Gezielte Deobfuskation notwendig
 - Diagnose des Obfuskationsprinzips
 - Rückführung der Funktionalität in die ursprüngliche Funktion anhand der Systemaufrufe zum Freigeben eines Semaphors
 - Entfernung weiterer unnötiger Artefakte
- Dynamische Analyse durch Aufzeichnung der Systemaufrufe
 - Filterung der Systemaufrufe der Obfuskation



23.08.2021

Obfuskation und Malware Evasion durch
Verlagerung von Funktionalität in Threads

22



generische nicht möglich; Verstehen, wie funzt; anhand der Semaphore die Reihenfolge bestimmen und zurückverlagern; weitere Änderungen (weitere unnötig gewordene Systemcalls und Datenfluss)

dynamische Analyse nach dieser stark invasiven Deobfuskation wahrscheinlich nicht mehr möglich (also nach öffentlicher Quellen, BinaryRew), deshalb ggf. nur nicht deobfuskiert durch Aufzeichnung

in beiden Fällen jedoch ggf Analyse notwendig, ob Element von Obfuskation oder vorher

Aufwand überschaubar, aber Obfuskation leicht erweiterbar und modifizierbar; Schwierigkeit die Entwicklung eines generischen Deobfuskators

Optimierungen

- Kombination (Erhöhung Wirksamkeit und Widerstandsfähigkeit)
 - Verschleierung der Zugriffe auf die Semaphore (ggf. opake Konstanten)
 - Mehrfache Nutzung von Variablen bzw. parallele, unproduktive Funktionalität
- Alternativen
 - Mehrfach durchlaufene Funktionalität per Schleife neu starten
 - Anwendung des Thread-Pool-Musters
- Funktionsumfang
 - Einschränkungen beseitigen (Ausnahmebehandlung, etc.)
 - Metamorphie
- Zuverlässigkeit
 - Behandlung der Ressourcenprobleme und weiterer Komplikationen



23.08.2021

Obfuskation und Malware Evasion durch
Verlagerung von Funktionalität in Threads

23



Inhalt

- 1 Grundlagen
- 2 Entwurf und Implementierung
- 3 Evaluation
- 4 Diskussion
- 5 Zusammenfassung und Ausblick



23.08.2021

Obfuskation und Malware Evasion durch
Verlagerung von Funktionalität in Threads

24



- die effektivsten Kombinationen; aliasing problem (mehrere Zugriffsmöglichkeit | indirekt) – opak **lesen**; mehrfache Nutzung globVar und Sem. Analyse bei Obfus auch bei Deobfus (Widerstnd) Parallel, sodass semantische Anal., auch Mimikry
- also nicht create thread sondern einfach nach Abarbeitung an den Anfang springen; Anstatt viele Threads, nur einige, die eine Funktionsptrq abarbeiten – Prüfung ergab keine signifikant Perf
- und rekursiv&variableParam; reflexive Transformation (rewrite/rückübersetzung), aber im Kontext eher Auslagerung anderer Funktionalität, Substitution globVars oder change order
- während transform berechnen oder setrlimit; linux signal func
- In diesem Zusammenhang Einbeziehen von Compileroptimierungen

- Vergleich mit ähnlichen Publikationen
- Ansätze für Gegenmaßnahmen
- Optimierungen
 - Kombination
 - Alternativen
 - Funktionen
 - Zuverlässigkeit

Zusammenfassung und Ausblick

- Aussparung rechenintensiver Routinen
- Einteilungsgröße
- Parametrisierung
- Binary Rewriting



Grundlagen: CFG, RevEng, Obfusk. allg., Malware D&E
Design&Impl: nur 1 Möglichkeit, warum, algo
Eval: Beweis. enough, formell. high. cost, reveng. praxis,
mal. det partly nicht zur vernachlässigen
Disk: compare-lässt sich einordnen,
deob. überschaubar aber erweiterbar, diverse
Optimierungen, Übergang zum Ausblick

so wurde mehr breite, bildet aber die Grundlage für
Spezialis. und Prioris. bei Untersuchung

Die wichtigsten Schlagwörter (und warum)

- Kosten, auch automatisierte Aussparung (hotspot)
- Wahl auch Kosten aber auch Wirksam/Wider, ggf. auch variabel
- In diesem Zsm auch Parametrisierung, aber auch bspw. reihenfolge; interessant, wie gut yara-sig mit obfusk.sample und dann param.samples
- abschließend festgestellt, dass BinRew vielerlei nutzt

Ende

Vielen Dank für Ihre Aufmerksamkeit.



- uneingeschränkt, nur höchste Effektivität
-
- Einbeziehen von Compileroptimierungen

Quellen

- [illegible]



Obfuskation und Malware Evasion durch Verlagerung von Funktionalität in Threads



- uneingeschränkt, nur höchste Effektivität
-
- Einbeziehen von Compileroptimierungen

Quellen

- [6] M. Alamyran, A. N. Ketkar, S. Mani, S. Adageyanki, B. Bakshi, & D. Patel. 2019. Malware Analysis: Evolving Techniques A Survey. *ACM Computing Surveys* 52, pp. 1-46.
- [7] L.UPK. <https://github.com/LUPK/2018-18-04-2021>.
- [8] S. Breach. 2018. Intel® Processor Trace: A new tool for runtime monitoring (ROP). <https://www.intel.com/content/www/us/en/processors/atom/intel-processor-trace.html>. Letter. Letzter Zugriff 18.04.2021.
- [9] S. Breach. 2018. A new tool for runtime monitoring (ROP). <https://www.intel.com/content/www/us/en/processors/atom/intel-processor-trace.html>. Letter. Letzter Zugriff 18.04.2021.
- [10] D. Romero, L. & B. Gatto, B. Baggio, G. Giovinetti, R. Follo, & A. Maras. 2015. An analysis of the execution of binaries of Linux operating systems. https://www.researchgate.net/publication/275101666_Analysis_of_the_execution_of_binaries_of_Linux_operating_systems. Letter. Letzter Zugriff 18.04.2021.
- [11] R. P. Dromey. 1984. *Design of Data Structures*. Prentice-Hall, Englewood Cliffs, New Jersey.
- [12] J. Demetrescu, I. Halasz, & D. Chud. 2016. Logosim: a system for cache-based instruction detection systems. *Concurrency and Computation: Practice and Experience* 29, 10.1002/cpe.4023.
- [13] J. Li, X. Wang, & L. He. Peter A. Freddy (2011). *Mechanisms of Polymorphic and Metamorphic Malware*. Virus Research and Security. Springer, 10.1007/978-1-4419-9198-5-13.
- [14] J. Li, X. Wang, & M. Ludovic. (2008). Code Mutation Techniques for Metamorphic Viruses. *Journal of Computer Virology* 4, pp. 213-220. doi:10.1007/s11464-008-0084-2.
- [15] J. Li, X. Wang, & M. Ludovic. 2008. Code Mutation Techniques for Metamorphic Viruses. *Journal of Computer Virology* 4, pp. 213-220. doi:10.1007/s11464-008-0084-2.
- [16] J. Li, X. Wang, & M. Ludovic. 2008. Code Mutation Techniques for Metamorphic Viruses. *Journal of Computer Virology* 4, pp. 213-220. doi:10.1007/s11464-008-0084-2.
- [17] J. Li, X. Wang, & M. Ludovic. 2008. Code Mutation Techniques for Metamorphic Viruses. *Journal of Computer Virology* 4, pp. 213-220. doi:10.1007/s11464-008-0084-2.
- [18] J. Li, X. Wang, & M. Ludovic. 2008. Code Mutation Techniques for Metamorphic Viruses. *Journal of Computer Virology* 4, pp. 213-220. doi:10.1007/s11464-008-0084-2.
- [19] J. Li, X. Wang, & M. Ludovic. 2008. Code Mutation Techniques for Metamorphic Viruses. *Journal of Computer Virology* 4, pp. 213-220. doi:10.1007/s11464-008-0084-2.
- [20] J. Li, X. Wang, & M. Ludovic. 2008. Code Mutation Techniques for Metamorphic Viruses. *Journal of Computer Virology* 4, pp. 213-220. doi:10.1007/s11464-008-0084-2.
- [21] J. Li, X. Wang, & M. Ludovic. 2008. Code Mutation Techniques for Metamorphic Viruses. *Journal of Computer Virology* 4, pp. 213-220. doi:10.1007/s11464-008-0084-2.
- [22] J. Li, X. Wang, & M. Ludovic. 2008. Code Mutation Techniques for Metamorphic Viruses. *Journal of Computer Virology* 4, pp. 213-220. doi:10.1007/s11464-008-0084-2.
- [23] J. Li, X. Wang, & M. Ludovic. 2008. Code Mutation Techniques for Metamorphic Viruses. *Journal of Computer Virology* 4, pp. 213-220. doi:10.1007/s11464-008-0084-2.
- [24] J. Li, X. Wang, & M. Ludovic. 2008. Code Mutation Techniques for Metamorphic Viruses. *Journal of Computer Virology* 4, pp. 213-220. doi:10.1007/s11464-008-0084-2.
- [25] J. Li, X. Wang, & M. Ludovic. 2008. Code Mutation Techniques for Metamorphic Viruses. *Journal of Computer Virology* 4, pp. 213-220. doi:10.1007/s11464-008-0084-2.
- [26] J. Li, X. Wang, & M. Ludovic. 2008. Code Mutation Techniques for Metamorphic Viruses. *Journal of Computer Virology* 4, pp. 213-220. doi:10.1007/s11464-008-0084-2.
- [27] J. Li, X. Wang, & M. Ludovic. 2008. Code Mutation Techniques for Metamorphic Viruses. *Journal of Computer Virology* 4, pp. 213-220. doi:10.1007/s11464-008-0084-2.
- [28] J. Li, X. Wang, & M. Ludovic. 2008. Code Mutation Techniques for Metamorphic Viruses. *Journal of Computer Virology* 4, pp. 213-220. doi:10.1007/s11464-008-0084-2.
- [29] J. Li, X. Wang, & M. Ludovic. 2008. Code Mutation Techniques for Metamorphic Viruses. *Journal of Computer Virology* 4, pp. 213-220. doi:10.1007/s11464-008-0084-2.
- [30] J. Li, X. Wang, & M. Ludovic. 2008. Code Mutation Techniques for Metamorphic Viruses. *Journal of Computer Virology* 4, pp. 213-220. doi:10.1007/s11464-008-0084-2.
- [31] J. Li, X. Wang, & M. Ludovic. 2008. Code Mutation Techniques for Metamorphic Viruses. *Journal of Computer Virology* 4, pp. 213-220. doi:10.1007/s11464-008-0084-2.
- [32] J. Li, X. Wang, & M. Ludovic. 2008. Code Mutation Techniques for Metamorphic Viruses. *Journal of Computer Virology* 4, pp. 213-220. doi:10.1007/s11464-008-0084-2.
- [33] J. Li, X. Wang, & M. Ludovic. 2008. Code Mutation Techniques for Metamorphic Viruses. *Journal of Computer Virology* 4, pp. 213-220. doi:10.1007/s11464-008-0084-2.
- [34] J. Li, X. Wang, & M. Ludovic. 2008. Code Mutation Techniques for Metamorphic Viruses. *Journal of Computer Virology* 4, pp. 213-220. doi:10.1007/s11464-008-0084-2.
- [35] J. Li, X. Wang, & M. Ludovic. 2008. Code Mutation Techniques for Metamorphic Viruses. *Journal of Computer Virology* 4, pp. 213-220. doi:10.1007/s11464-008-0084-2.
- [36] J. Li, X. Wang, & M. Ludovic. 2008. Code Mutation Techniques for Metamorphic Viruses. *Journal of Computer Virology* 4, pp. 213-220. doi:10.1007/s11464-008-0084-2.
- [37] J. Li, X. Wang, & M. Ludovic. 2008. Code Mutation Techniques for Metamorphic Viruses. *Journal of Computer Virology* 4, pp. 213-220. doi:10.1007/s11464-008-0084-2.
- [38] J. Li, X. Wang, & M. Ludovic. 2008. Code Mutation Techniques for Metamorphic Viruses. *Journal of Computer Virology* 4, pp. 213-220. doi:10.1007/s11464-008-0084-2.
- [39] J. Li, X. Wang, & M. Ludovic. 2008. Code Mutation Techniques for Metamorphic Viruses. *Journal of Computer Virology* 4, pp. 213-220. doi:10.1007/s11464-008-0084-2.
- [40] J. Li, X. Wang, & M. Ludovic. 2008. Code Mutation Techniques for Metamorphic Viruses. *Journal of Computer Virology* 4, pp. 213-220. doi:10.1007/s11464-008-0084-2.
- [41] J. Li, X. Wang, & M. Ludovic. 2008. Code Mutation Techniques for Metamorphic Viruses. *Journal of Computer Virology* 4, pp. 213-220. doi:10.1007/s11464-008-0084-2.
- [42] J. Li, X. Wang, & M. Ludovic. 2008. Code Mutation Techniques for Metamorphic Viruses. *Journal of Computer Virology* 4, pp. 213-220. doi:10.1007/s11464-008-0084-2.
- [43] J. Li, X. Wang, & M. Ludovic. 2008. Code Mutation Techniques for Metamorphic Viruses. *Journal of Computer Virology* 4, pp. 213-220. doi:10.1007/s11464-008-0084-2.
- [44] J. Li, X. Wang, & M. Ludovic. 2008. Code Mutation Techniques for Metamorphic Viruses. *Journal of Computer Virology* 4, pp. 213-220. doi:10.1007/s11464-008-0084-2.
- [45] J. Li, X. Wang, & M. Ludovic. 2008. Code Mutation Techniques for Metamorphic Viruses. *Journal of Computer Virology* 4, pp. 213-220. doi:10.1007/s11464-008-0084-2.
- [46] J. Li, X. Wang, & M. Ludovic. 2008. Code Mutation Techniques for Metamorphic Viruses. *Journal of Computer Virology* 4, pp. 213-220. doi:10.1007/s11464-008-0084-2.
- [47] J. Li, X. Wang, & M. Ludovic. 2008. Code Mutation Techniques for Metamorphic Viruses. *Journal of Computer Virology* 4, pp. 213-220. doi:10.1007/s11464-008-0084-2.
- [48] J. Li, X. Wang, & M. Ludovic. 2008. Code Mutation Techniques for Metamorphic Viruses. *Journal of Computer Virology* 4, pp. 213-220. doi:10.1007/s11464-008-0084-2.
- [49] J. Li, X. Wang, & M. Ludovic. 2008. Code Mutation Techniques for Metamorphic Viruses. *Journal of Computer Virology* 4, pp. 213-220. doi:10.1007/s11464-008-0084-2.
- [50] J. Li, X. Wang, & M. Ludovic. 2008. Code Mutation Techniques for Metam



Obfuskation und Malware Evasion durch Verlagerung von Funktionalität in Threads



- uneingeschränkt, nur höchste Effektivität
-
- Einbeziehen von Compileroptimierungen

Quellen

[78] Benjamin Delpy. mimikatz. <https://github.com/gentikiwi/mimikatz>. Letzter Zugriff 28.08.2021.

[79] Nick Allen, Tyler Falther, Laine Rumsch, Colin Thomas, Nathan Simpson, Patrick Walter. Polymorphic Virus & Countermeasure. (2019). <https://github.com/LaineRumsch/PolymorphicVirus>. Letzter Zugriff 28.08.2021.

[80] Stephen Fewer. ReflectiveDLLInjection. (2013). <https://github.com/stephenfewer/ReflectiveDLLInjection>. Letzter Zugriff 28.08.2021.

[81] Linux manual page. (2021). diff(1). <https://man7.org/linux/man-pages/man1/diff.1.html>. Letzter Zugriff 28.08.2021.

[82] Pádraig Brady. (2017). How the GNU coreutils are tested. <http://www.givethed.org/ctccoreutils-testing.html>. Letzter Zugriff 14.07.2021.

[83] Linux manual page. (2021). signal(2). <https://man7.org/linux/man-pages/man2/signal.2.html>. Letzter Zugriff 05.07.2021.

[84] Ormer, Rachas & El-Mahdy, Ahmed & Röhru, Ervin. (2014). A Library Control-Flow Embedding into Multiple Threads for Obfuscation: A Preliminary Complexity and Performance Analysis. SCC 14: Proceedings of the 2nd international workshop on Security in cloud computing, pp. 51-58. 10.1145/2600075.2600080.

[85] Guelfeld, Dan. (1997). Algorithms on strings, trees and sequences. computer science and computational biology. Cambridge, UK: Cambridge University Press.

[86] Cocco, Moreno & Keller, Frank. (2012). Scan Patterns Predict Sentence Production in the Cross-Modal Processing of Visual Scenes. Cognitive science, vol. 36, pp. 1204-1023. 10.1111/1551-8709.2012.01246.x.

[87] Hsu, Wen-Li & Caballero, Juan. (2021). A Survey of Binary Code Similarity. ACM Computing Surveys, vol. 54, pp. 1-38. 10.1145/3446371.

[88] Linux Kernel Organization. Perf: Linux profiling with performance counters. (2020). https://perf.wiki.kernel.org/index.php/Main_Page. Letzter Zugriff 20.07.2021.

[89] Denis Bakhvalov. (2019). How to get consistent results when benchmarking on Linux?. <https://leasysperf.net/blog/2019/08/02/Perf-measurement-environment-on-Linux/#4-set-cpu-affinity>. Letzter Zugriff 22.07.2021.

[90] Linux manual page. (2019). time(1). <https://man7.org/linux/man-pages/man1/time.1.html>. Letzter Zugriff 23.07.2021.

[9091] GNU. GDB: The GNU Project Debugger. <https://www.gnu.org/software/gdb/>. Letzter Zugriff 18.04.2021.

[92] vldkling. <https://64dbg.com/>. Letzter Zugriff 18.04.2021.

[93] GNU. GCC: the GNU Compiler Collection. <https://gcc.gnu.org/>. Letzter Zugriff 18.04.2021.

[94] VirusTotal. Contributors. <https://support.virustotal.com/en-us/articles/115902146809-Contributors>. Letzter Zugriff 10.08.2021.

[95] Bilsen, Fero & Pfohmann, Daniel. (2019). YARA-Signatur: Automated Generation of Code-based YARA Rules. The Journal on Cybercrime & Digital Investigations, vol. 5, no. 1. Botsconf 2019 Proceedings. 10.18464/jcydih.v5i1.24.

[96] Sulaiman, A. & Ramamurthy, K. & Makkanna, Sriyvas & Sang, Andrew. (2009). Malware examiner using disassembled code (MEDIC). Proceedings from the Sixth Annual IEEE SMC Information Assurance Workshop, pp. 428-429. 10.1109/IAW.2009.1499986.

[97] Oracle. VirtualBox. <https://www.virtualbox.org/>. Letzter Zugriff 18.04.2021.

[98] Thomas Hungenberg & Matthias Eckert. (2020). netSim: Internet Services Simulation Suite. <https://www.netSim.org/>. Letzter Zugriff 19.07.2021.

[99] Qiao, Yong & He, Jie & Yang, Yuxiang & Ji, Li. (2013). Analyzing Malware by Abstracting the Frequent Patterns in API Call Sequences. 2013 12th IEEE International Conference on Trust, Security and Privacy in Computing and Communications, pp. 265-270. 10.1109/TrustCom.2013.3.

[100] Dai, Jinyong & JooHan, Lee. (2009). Efficient Virus Detection Using Dynamic Instruction Sequences. Journal of Computers 4, pp. 405-414. 10.4304/jcp.4.5.405-414.

[101] Wendels, Chas Adams. (2017). Malware Detection in Secured Systems. Seminar Future Internet SS2017. 10.2313/FNET-2017-09-1_11.

[102] Sorokin, Ilya. (2011). Computing files using structural entropy. Journal in Computer Virology 7, pp. 259-265. 10.1007/s11416-011-0153-9.

[103] Alexander H. Lu. (2019). MalConv-Pytorch. <https://github.com/Alexander-H-Liu/MalConv-Pytorch>. Letzter Zugriff 18.07.2021.

[104] Konrad Rieck. Malheur Dataset. <https://www.sec.cs.tu-bs.de/data/malheur/>. Letzter Zugriff 29.07.2021.

[105] VirusTotal. <https://www.virustotal.com/>. Letzter Zugriff 18.04.2021.

[106] Shariif, Mahmood & Lucas, Keane & Bauer, Lutz & Reiter, Michael & Shrinet, Saurabh. (2019). Optimization-Guided Binary Diversification to Mislead Neural Networks for Malware Detection.

[107] Castro, Raphael & Schmitt, Corinna & Rodosek, Gabi. (2019). ARMED: How Automatic Malware Modifications Can Evade Static Detection? 2019 31th International Conference on Information Management (ICIM), pp. 20-27. 10.1109/INFORMAN.2019.8714698.

[108] Demetrio, Luca & Biggio, Battista & Lagoia, Giovanni & Roli, Fabio & Armando, Alessandro. (2020). Functionality-preserving Black-box Optimization of Adversarial Windows Malware. IEEE Transactions on Information Forensics and Security. 10.1109/TIFS.2021.3062330.

[109] Rossow, Christian & Dieck, Christian & Grier, Chris & Kreibich, Christian & Paxson, Vern & Pohlmann, Norbert & Box, Herbert & van Steen, Maarten. (2012). Prudent Practices for Designing Malware Experiments: Status Quo and Outlook. 2012 IEEE Symposium on Security and Privacy, pp. 65-79. 10.1109/SP.2012.14.

[110] Hu, Wenwen & Tan, Yong. (2017). Generating Adversarial Malware Examples for Black-Box Attacks Based on GAN.

[111] Pavitrana, Jitin & Patnaik, Milan & Rebeiro, Chester. (2019). D-TIME: Distributed Threats Independent Malware Execution for Runtime Obfuscation. WOOT @ USENIX Security Symposium.

[112] Rosenberg, Ishai & Shabtai, Asaf & Rokach, Lior & Elorvici, Yuval. (2018). Generic Black-Box End-to-End Attack against RNNs and Other API Calls Based Malware Classifiers. Research in Attacks, Intrusions, and Defenses. 10.1007/978-3-030-00470-5_23.

[113] Zhou, Ruoyu. (2018). Guided Automatic Binary Parallelisation. 10.17863/CAM.21890.

[114] Wikipedia. Pointer analysis. https://en.wikipedia.org/wiki/Pointer_analysis. Letzter Zugriff 18.04.2021.

[115] Wikipedia. Lingster Phd. https://de.wikipedia.org/wiki/%C3%A4ngster_Ph_d. Letzter Zugriff 18.04.2021.

[116] Linux manual page. Getrlimit(2). (2021). <https://man7.org/linux/man-pages/man2/getrlimit.2.html>. Letzter Zugriff 19.05.2021.

[117] LLVM. GlobalOpt.cpp. <https://github.com/llvm/llvm-project/blob/llvmorg-11.1.0/llvm/Transforms/PGO/GlobalOpt.cpp>. Letzter Zugriff 18.04.2021.



23.08.2021

Obfuskation und Malware Evasion durch
Verlagerung von Funktionalität in Threads

29



- uneingeschränkt, nur höchste Effektivität
-
- Einbeziehen von Compileroptimierungen